



école
normale
supérieure
paris-saclay

Processus de patchs déterminantaux pour la synthèse de texture

Claire Launay

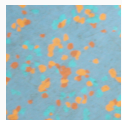
Travail en collaboration avec Arthur Leclaire (IMB, Université de Bordeaux)

GRETSI 2019 - Lille

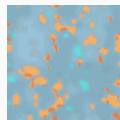
29 Août 2019

Processus de patchs déterminantaux pour la synthèse de texture

- Synthèse de texture par l'exemple : Générer une texture à partir d'un échantillon.



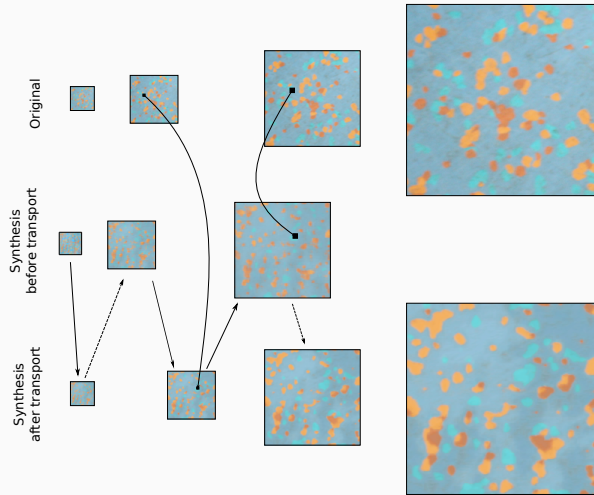
(a) Exemple u



(b) Texture générée

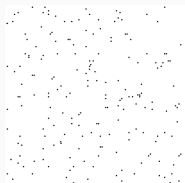
- [Galerne et al., 2018] Méthode de synthèse :
 - Champ gaussien approprié + Transport Optimal (TO) semi-discret.
 - Sous-échantillonnage de la distribution empirique des patchs.
- Proposition : Sous-échantillonnage de l'ensemble des patchs par un processus déterminantal qui tient compte de la structure de l'espace des patchs.

Synthèse de texture par TO semi-discret multi-résolution

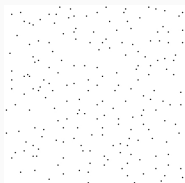


Processus de patchs déterminantaux pour la synthèse de texture

- Les processus ponctuels déterminantaux (DPP) favorisent la **réciprocité** :



(a) Uniforme



(b) DPP

- Répulsion entre les points au sens d'une mesure stockée dans le **noyau K^1** qui peut prendre en compte la structure de l'ensemble des points.
- Ici DPatchP pour approximer la **distribution des patchs** d'une texture.

¹ Kulesza, A. and Taskar, B.,(2012) Determinantal point processes for Machine Learning, Foundations and Trends in Machine Learning.

Synthèse de texture par transport optimal semi-discret

Modèle gaussien associé²

Soit $u : \Omega \rightarrow \mathbb{R}^d$ la texture exemple, définie sur $\Omega \subset \mathbb{Z}^2$.

Le modèle est basé sur la texture gaussienne U associée à u donnée par

$$\forall x \in \mathbb{Z}^2, \quad U(x) = \bar{u} + \sum_{y \in \mathbb{Z}^2} t_u(y) W(x - y) \quad (1)$$

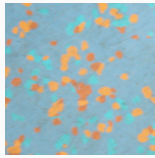
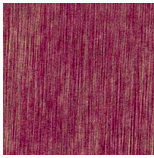
où W est un bruit blanc gaussien normalisé sur \mathbb{Z}^2 et avec

$$\begin{cases} \bar{u} &= \frac{1}{|\Omega|} \sum u(x) \\ t_u &= \frac{1}{\sqrt{|\Omega|}} (u - \bar{u}) \mathbf{1}_\Omega \end{cases}.$$

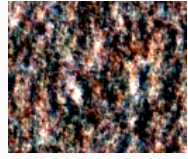
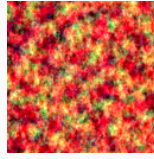
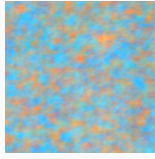
²Galerne, B., Gousseau, Y., Morel, J.-M., (2011) Random phase textures: Theory and synthesis. IEEE Trans. Image Process.

Modèle gaussien associé : Exemples

Original



Synthèse



Modèle de transport optimal semi-discret³

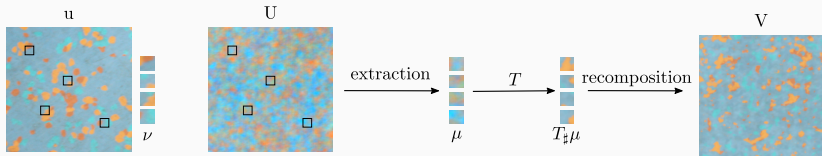
- Point de départ :

- patchs (q_j) de la texture originale de distribution discrète $\nu = \sum_{j=1}^J \nu_j \delta_{q_j}$
- patchs de la texture gaussienne de distribution continue μ

Remarque : Taille des patchs : $w \times w$ et on note $D = dw^2$.

- But : Appliquer une **transformation locale** $T : \mathbb{R}^D \rightarrow \mathbb{R}^D$ aux patchs de la texture gaussienne pour **réimposer les structures** de la texture originale, d'une façon statistiquement cohérente :

$$T_\# \mu = \nu.$$



³Galerne, B., Leclaire, A., and Rabin, J. (2018) A texture synthesis model based on semi-discrete optimal transport in patch space. SIAM Journal on Imaging Sciences.

Modèle de transport optimal semi-discret³

- On cherche $\textcolor{brown}{T} : \mathbb{R}^D \rightarrow \mathbb{R}^D$, solution du problème

$$\inf \int_{\mathbb{R}^D} \|p - \textcolor{brown}{T}(p)\|^2 d\mu(p) \quad (2)$$

telle que $\textcolor{brown}{T}_\# \mu = \nu$.

- Solution: **Recherche du plus proche voisin biaisée**

$$\textcolor{brown}{T}_v(p) = q_{j(p)} \quad \text{avec} \quad j(p) = \operatorname{argmin}_{j \in \{1, \dots, J\}} \|p - q_j\|^2 - \textcolor{blue}{v}_j$$

où $v \in \mathbb{R}^J$ est solution d'un problème de maximisation concave et (q_j) les patches de la texture originale.

Modèle de transport optimal semi-discret³

- On cherche $\textcolor{brown}{T} : \mathbb{R}^D \rightarrow \mathbb{R}^D$, solution du problème

$$\inf \int_{\mathbb{R}^D} \|p - \textcolor{brown}{T}(p)\|^2 d\mu(p) \quad (2)$$

telle que $\textcolor{brown}{T}_\# \mu = \nu$.

- Solution: **Recherche du plus proche voisin biaisée**

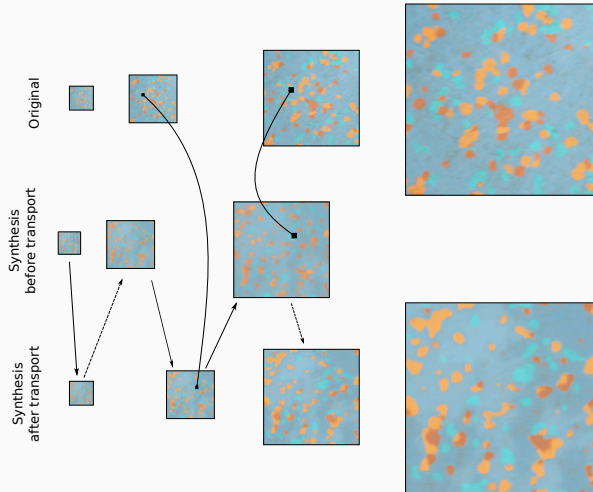
$$\textcolor{brown}{T}_v(p) = q_{j(p)} \quad \text{avec} \quad j(p) = \operatorname{argmin}_{j \in \{1, \dots, J\}} \|p - q_j\|^2 - \textcolor{brown}{v}_j$$

où $v \in \mathbb{R}^J$ est solution d'un problème de maximisation concave et (q_j) les patchs de la texture originale.

- Estimer $\textcolor{brown}{T}$: Trouver v grâce à un algorithme de gradient stochastique.
Coûteux: raisonnable seulement pour des patchs 3×3 et J petit.

Modèle multi-échelle³

Gérer les structures plus grandes dans la texture originale : procédure multi-échelle.



Synthèse de texture par transport optimal semi-discret³

Deux étapes :

- **Estimations** de T^ℓ par l'estimation des poids v^ℓ , à chaque résolution $\ell = L - 1, \dots, 0$.
- **Synthèse** de la texture par des recherches de plus proches voisins biaisée successives.

Quelle distribution discrète ν choisir ?

Estimation de la mesure cible grâce aux processus déterminantaux

Choix de la distribution cible ν

Comment choisir la distribution discrète ν des patchs $\{p_i, 1 \leq i \leq I\}$ de la texture exemple ?

- Distribution empirique des patchs

$$\nu_{\text{emp}} = \frac{1}{I} \sum_{i=1}^I \delta_{p_i} \quad \text{mais } I \approx 10^6$$

- Sélection aléatoire uniforme $\{q_j, 1 \leq j \leq J\}$

$$\nu_{\text{unif}} = \frac{1}{J} \sum_{j=1}^J \delta_{q_j}$$

- Autre sélection aléatoire ?

$$\nu = \sum_{j=1}^J \nu_j \delta_{q_j}$$

Processus ponctuels déterminantaux discrets

Soit $\mathcal{Y} = \{1, \dots, I\}$ un ensemble de points (ou d'indices) et K une matrice symétrique de taille $I \times I$ telle que

$$0 \preceq K \preceq 1,$$

alors l'ensemble aléatoire $X \subset \mathcal{Y}$ défini par

$$\forall A \subset \mathcal{Y}, \quad \mathbb{P}(A \subset X) = \det(K_A)$$

est un **processus ponctuel déterminantal** (DPP) de noyau K .

On le notera $X \sim \text{DPP}(K)$.

$$K = \underset{A}{\uparrow} \left(\begin{array}{c|c} & \xleftrightarrow{A} \\ \hline & K_A \end{array} \right)$$

Processus ponctuels déterminantaux discrets¹

- *Éléments diagonaux et probabilités marginales*

$$\mathbb{P}(i \in X) = K_{ii}.$$

- *Éléments hors-diagonale et répulsion*

$$A = \{i, j\}, \quad \mathbb{P}(\{i, j\} \subset X) = K_{ii}K_{jj} - |K_{i,j}|^2.$$

- *Cardinal du processus*

$$\mathbb{E}(|X|) = \sum_{i \in \mathcal{Y}} \lambda_i = \text{Tr}(K)$$

- *L-ensemble*

Si L est une matrice semi-définie positive alors la matrice $K = L(Id + L)^{-1}$ est le noyau d'un processus ponctuel déterminantal.

Processus de patchs déterminantaux

Choix de noyau pour sous-échantillonner $\{p_i, 1 \leq i \leq I\}$

$$\forall i, j \in \{1, \dots, I\}, \quad L_{ij} = \exp\left(-\frac{\|p_i - p_j\|_2^2}{s^2}\right)$$

Remarques :

- L est positive donc $K = L(Id + L)^{-1}$ définit le noyau d'un DPP.
- Échantillonnage coûteux ($\mathcal{O}(I^3)$) mais effectué uniquement pendant l'étape d'estimation du modèle.

Processus de patchs déterminantaux

Choix de noyau pour sous-échantillonner $\{p_i, 1 \leq i \leq I\}$

$$\forall i, j \in \{1, \dots, I\}, \quad L_{ij} = \exp\left(-\frac{\|p_i - p_j\|_2^2}{s^2}\right)$$

Remarques :

- L est positive donc $K = L(Id + L)^{-1}$ définit le noyau d'un DPP.
- Échantillonnage coûteux ($\mathcal{O}(I^3)$) mais effectué uniquement pendant l'étape d'estimation du modèle.

Ce DPP détermine le support de ν : $\mathcal{Q} = \{q_j, 1 \leq j \leq J\} \sim \text{DPP}(K)$:

$$\nu = \sum_{j=1}^J \nu_j^* \delta_{q_j}$$

Déterminer les poids $(\nu_j)_j$

But : ν minimise

$$W_2^2(\nu_{\text{emp}}, \nu) = \inf_{(\pi_{i,j})} \sum_{i,j} \pi_{i,j} \|p_i - q_j\|^2$$

avec $(\pi_{i,j}) \in \mathbb{R}_+^{I \times J}$ tels que

- pour tous i , $\sum_j \pi_{i,j} = \nu_{\text{emp}, i}$
- pour tous j , $\sum_i \pi_{i,j} = \nu_j$.

Déterminer les poids $(\nu_j)_j$

But : ν minimise

$$W_2^2(\nu_{\text{emp}}, \nu) = \inf_{(\pi_{i,j})} \sum_{i,j} \pi_{i,j} \|p_i - q_j\|^2$$

avec $(\pi_{i,j}) \in \mathbb{R}_+^{I \times J}$ tels que

- pour tous i , $\sum_j \pi_{i,j} = \nu_{\text{emp}, i}$
- pour tous j , $\sum_i \pi_{i,j} = \nu_j$.

Problème équivalent :

$$\pi_{i,j}^* = \underset{(\pi_{i,j})}{\operatorname{argmin}} \sum_{i,j} \pi_{i,j} \|p_i - q_j\|^2 \quad \text{tels que } \forall (i,j), \quad \begin{cases} \pi_{i,j} \geq 0 \\ \sum_j \pi_{i,j} = \frac{1}{I} \end{cases} \quad (3)$$

$$\text{et alors } \forall j \in \{1, \dots, J\}, \nu_j^* = \sum_i \pi_{i,j}^*. \quad (4)$$

On doit donc résoudre un problème linéaire sur un ensemble convexe : algorithme du simplex par exemple.

Déterminer les poids $(\nu_j)_j$

La distribution des patchs de la texture originale u est estimée par

$$\nu_{\text{DPP}} = \sum_{j=1}^J \nu_j^* \delta_{q_j},$$

où (q_j) est une réalisation d'un processus déterminantal de noyau K et les poids (ν_j^*) sont donnés par les équations (3, 4).

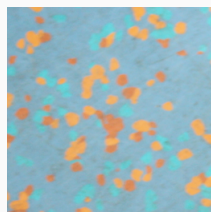
Résultats

- Paramètres utilisés :
 - Patchs de taille 3×3
 - 4 échelles
 - Utilisation de l'algorithme spectral (Décomposition en valeurs propres du noyau)
 - Pré-sélection uniforme de 1000 patchs pour accélérer davantage l'échantillonnage et puisqu'en général $I \approx 10^6$.

- Paramètres utilisés :
 - Patchs de taille 3×3
 - 4 échelles
 - Utilisation de l'algorithme spectral (Décomposition en valeurs propres du noyau)
 - Pré-sélection uniforme de 1000 patchs pour accélérer davantage l'échantillonnage et puisqu'en général $I \approx 10^6$.
- Temps de calcul pendant la synthèse 1024×1024 :

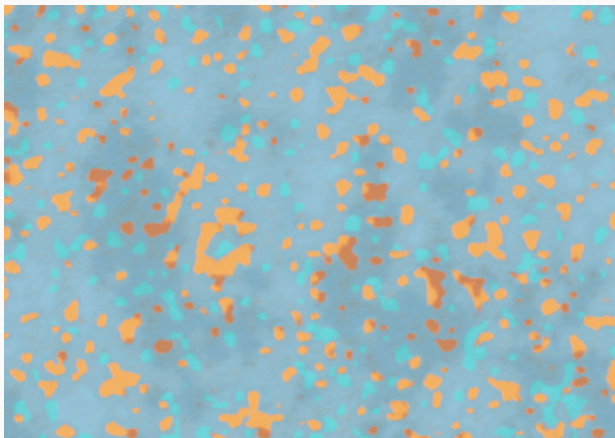
Nb patchs	50	100	200	1000
Temps	0.19"	0.28"	0.47"	1.7"

Comparaisons - 1000 patchs³ / 100 patchs par DPP



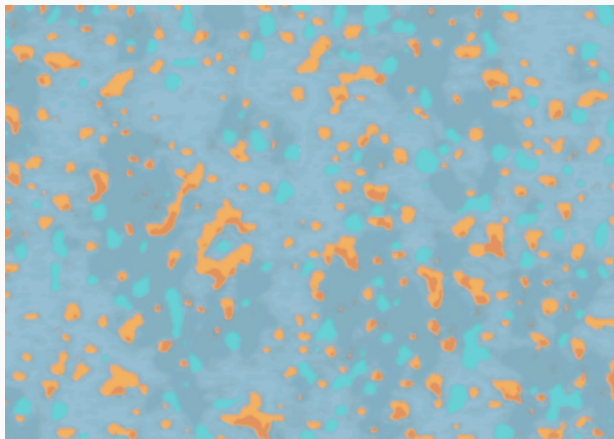
Original

Comparaisons - 1000 patchs³ / 100 patchs par DPP



1000 patchs

Comparaisons - 1000 patchs³ / 100 patchs par DPP



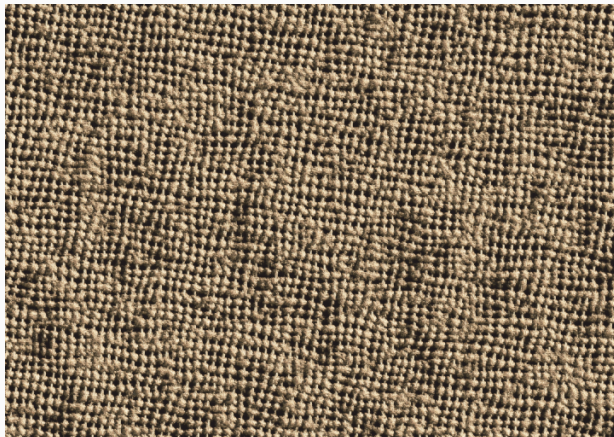
100 patchs par DPP

Comparaisons - 1000 patchs³ / 100 patchs par DPP



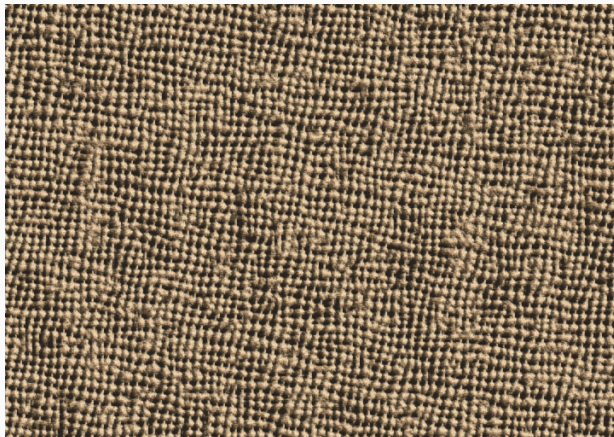
Original

Comparaisons - 1000 patchs³ / 100 patchs par DPP



1000 patchs

Comparaisons - 1000 patches³ / 100 patches par DPP



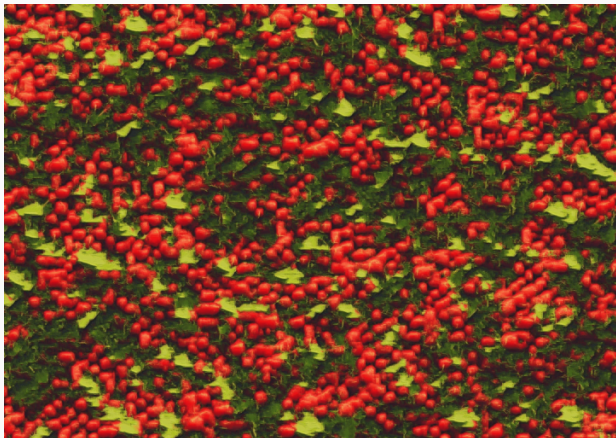
100 patches par DPP

Comparaisons - 1000 patchs³ / 100 patchs par DPP



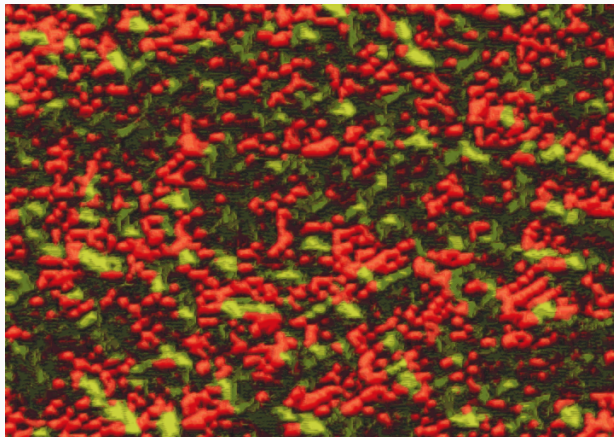
Original

Comparaisons - 1000 patchs³ / 100 patchs par DPP



1000 patchs

Comparaisons - 1000 patchs³ / 100 patchs par DPP



100 patchs par DPP

Comparaisons - 100 patches - Sélection uniforme / DPP



Original

Comparaisons - 100 patches - Sélection uniforme / DPP



100 patches - Sélection uniforme

Comparaisons - 100 patches - Sélection uniforme / DPP



100 patches - DPP

Comparaisons - 100 patches - Sélection uniforme / DPP



Original

Comparaisons - 100 patches - Sélection uniforme / DPP



100 patches - Sélection uniforme

Comparaisons - 100 patchs - Sélection uniforme / DPP



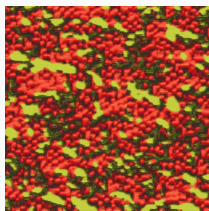
100 patchs - DPP

Comparaisons - 100 patchs - Sélection uniforme / DPP



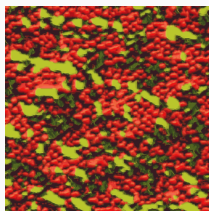
100 patchs - DPP

Comparaisons - 100 patches - Sélection uniforme / DPP

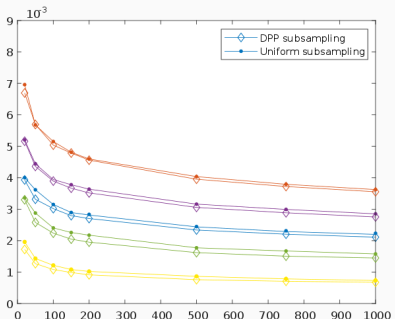


100 patches - Sélection uniforme

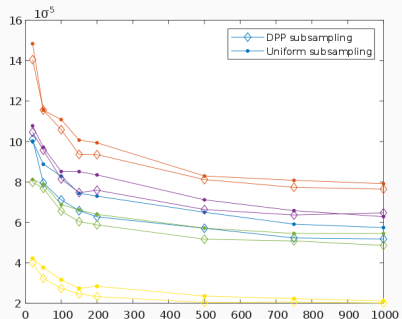
Comparaisons - 100 patchs - Sélection uniforme / DPP



100 patchs - DPP



(a) Distance euclidienne **moyenne** des patches
à une sélection par DPP ou uniforme (5
textures).



(b) Distance euclidienne **maximale** entre
l'ensemble des patches et la sélection par DPP
ou uniforme (5 textures).

Conclusion

Conclusion

- Remarques :
 - Proposition d'une alternative pour sous-échantillonner l'ensemble des patchs d'une texture et approximer sa distribution empirique
 - Application à un modèle de synthèse de texture qui utilise le TO semi-discret
 - Accélération significative de la synthèse grâce à un support associé à la distribution des patchs petit
 - Permet un compromis entre qualité visuelle et rapidité de la procédure.
- Perspectives :
 - Adaptation à une résolution multi-couche du problème de TO semi-discret qui permet d'utiliser des patchs 7×7^4
 - Développer un critère pour déterminer le nombre de patchs nécessaires selon la complexité de la texture

Les codes sources sont disponibles en ligne

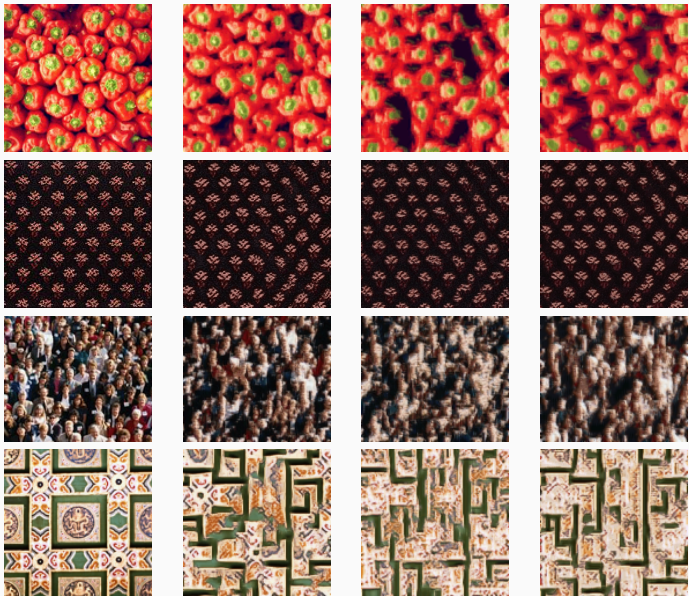
www.math.u-bordeaux.fr/~aleclaire/texto/

⁴Leclaire, A. and Rabin, J.,(2019), A Fast Multi-Layer Approximation to Semi-Discrete Optimal Transport, International Conference on Scale Space and Variational Methods in Computer Vision

Références :

-  Galerne, B., Gousseau, Y., and Morel, J.-M. (2011).
Random phase textures: Theory and synthesis.
IEEE Trans. Image Process., 20(1):257 – 267.
-  Galerne, B., Leclaire, A., and Rabin, J. (2018).
A texture synthesis model based on semi-discrete optimal transport in patch space.
SIAM Journal on Imaging Sciences, 11(4):2456–2493.
-  Kulesza, A. and Taskar, B. (2012).
Determinantal point processes for machine learning.
Foundations and Trends in Machine Learning, 5(2-3):123–286.

Ce projet a été supporté par la Région Ile-de-France, l'Institut Henri Poincaré et le LabEx CARMIN.

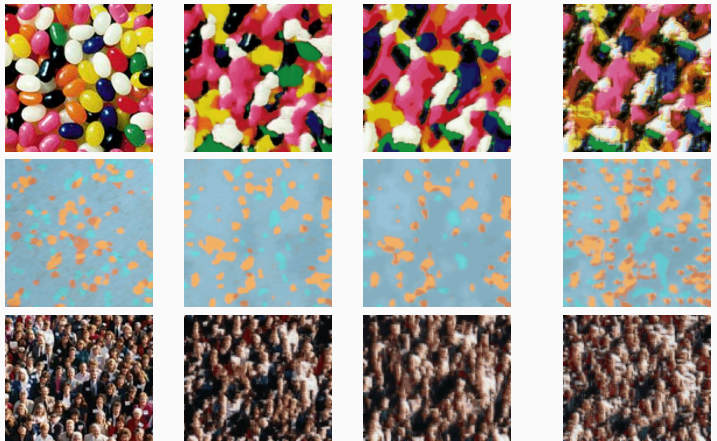


Original

Unif-1000

Unif-100

DPP-100



Original

Unif-1000

DPP-100

DPP-100-wowheights